

## 〔コメント 5〕 実験的検証

原研 吉田 弘幸

HCLWRの炉物理的特徴は、主要核特性の多くが共鳴エネルギー領域の特性によって決まることがある。適切な Data & Methods の早期確立に資するため、炉物理実験が欧州諸国で実施されているが、日本原子力研究所においても本年 5月より FCA を用いた 3 年間の実験計画に着手する。

### 1. 欧州における HCLWR の炉物理実験の現状

1960 年代には米国は A N L の ZPR-7 を用いて系統的な実験を行ったが、用いた燃料は～ 3 w/o 濃縮 U であった。一方、欧州では高富化度  $\text{PuO}_2 - \text{UO}_2$  燃料 HCLWR の設計動向を反映して、1980 年になって  $\text{PuO}_2 - \text{UO}_2$  燃料を用いた実験が活発になった。

1981 年、スイスの E I R では従来重水減速炉であった PROTEUS 炉の中心に  $60\text{cm} \phi \times 80\text{cmH}$  の HCLWR 領域を設けて実験を開始した。第 1 期計画では～ 15 w/o  $\text{PuO}_2 - \text{UO}_2$  ピンと劣化  $\text{UO}_2$  を組合せて～ 6 w/o  $\text{PuO}_2 - \text{UO}_2$  ピンを模擬し、現在実施中の第 2 期計画では 7.5 w/o  $\text{PuO}_2 - \text{UO}_2$  ピンを新たに製作して実験に供した。水対燃料体積比 (M/F 比) は 0.5 であり典型的な HCLWR のものである。第 1 期計画では、未ボイド、42.5 % ボイド、100 % ボイドの系の  $k_{\infty}$  と各種反応率比が測定され、第 2 期計画では制御棒効果、ブランケット効果、格子間隔と Pu 組成効果等が追加測定される予定である。この実験データは既に我が国の Data & Methods 検証のために活用されている。

西ドイツの K F K では、シャットダウン直前の SNEAK を用いて、1984 年に短期間で小規模な実験を行った。この装置は FCA と同種であり、後述の FCA 実験計画作成時に参考になった。減速材にはポリスチレンを用い M/F 比 0.5 と 1.0 を模擬したが、燃料は 15 w/o  $\text{PuO}_2 - \text{UO}_2$  ピンをそのまま使用したので典型的な HCLWR の Pu 富化度の約 2 倍であった。

フランスは 1984 年に大規模かつ意欲的な実験計画を開始した。カダラッシュでは軽水炉 C A の E O L E を用いて、7.5 w/o  $\text{PuO}_2 - \text{UO}_2$  ピンによる M/F = 0.5, 0.9 を模擬した臨界実験を行うと共に、C A の MINERVE を用いて照射済燃料サンプルの核分裂生成物の反応度効果をオッシレイション法で測定する予定である。一方、グルノーブルでは材料試験炉 MELUSINE を用いて燃料核種、その他のアクチノイド核種、核分裂生成物主要核種の炉物理的照射データをうる計画である。いずれの施設に対しても HCLWR のスペクトル形成のために  $\text{PuO}_2 - \text{UO}_2$  ピンを製作している。

### 2. FCA による HCLWR の炉物理実験計画

共鳴エネルギー領域を対象とする Data & Methods の不確かさが影響を与える HCLWR の臨界性、転換比、ボイド反応度、制御棒効果に関する実験データを提供すると共にその特性の解明

に資する基礎データ（反応率比、サンプル反応度価値等）を提供することを目的として、FCAでは3年間の3フェーズにわたる炉物理実験を計画し、本年5月初旬よりPhase-I第1炉心の臨界近接を開始する。

我が国にはHCLWRのPu富化度を持つ充分な量の $\text{PuO}_2 - \text{UO}_2$ ピンはなく、その製作期間を考慮すると何時の時点で実験が可能になるのか見通しがつかない。FCAは高速炉のCAである関係から上記Pu燃料を模擬することは可能であるが、水を減速材として使用することが不可能であり固体減速材による模擬が必要となる。広範囲にわたる検討により、種々の測定上の困難はあるにしても、板状燃料と固体減速材ポリスチレンによってHCLWRのData & Methodsに資する実験は可能であるばかりでなく、測定位置、燃料濃縮度及びM/F比、ボイド率の選定が容易でかつ自由度が大きいなどというFCAの特徴を生かして欧州での実験以上に有用な実験データを提供できると考えている。

#### 全体計画に共通した実験体系

実験体系は図1に示したように中心にHCLWR組成を模擬したテスト領域とそれを囲む高速炉系のドライバー領域からなるゾーン型体系である。基本モードスペクトルの形成領域を最大限にするために軸方向にはテスト領域のEUまたはPuをNUに置換した軸方向ブランケット、径方向にはドライバー領域からの高速中性子流入を緩和するステンレス鋼バッファを設けた。テスト領域の組成はPhase-I～IIIによって変更される。

#### Phase-I実験計画(1986.5～1987.4)

Phase-Iでは、組成模擬の自由度が高い20%EU板を用いて、主要特性に与える燃料濃縮度(E)とM/F比の効果を測定すると共に、スペクトル指標を種々の検出器によって測定しその有効性を評価する。テスト領域の組成はEU06(E=6%, M/F=0.6), EU05(E=5%, M/F=1.0), EU08(E=8%, M/F=0.6)であり、その物質板配列を図2に示した。測定項目については表1に示したが、特にボイド率変化による中性子スペクトル変動が著しく各スペクトルFの基本特性が有用なデータとなりうることから密度の異なる発泡ポリスチレン板によってボイド率0, 40, 60, 80, 95, 100%を模擬する。この場における測定からボイド効果及びスペクトル指標に関するFCAの特徴を生かした系統的な実験データを提供できると考えている。

Phase-I計画炉心の格子特性のうち $k_{\infty}$ と反応率比、ボイド効果の予備解析結果を表2と図3に示した。またEU06組成でのボイド率とスペクトルの関係を図4に示した。

#### Phase-II実験計画(1987.6～1988.4)

Phase-IIでは、板状のPuを用いて典型的なHCLWRの組成をテスト領域に模擬し、Pu核種の共鳴吸収によって生じた硬中性子スペクトル場での特性を測定する。ボイド効果と転換比及

びそのPu組成効果の測定が重要となる。転換比測定には反応率－反応度組合せ法を適用する予定である。

#### Phase-III 実験計画(1988.6～1989.4)

Phase-IIIでは、 $\text{PuO}_2$ － $\text{UO}_2$ ピンを新規に製作し、実機組成の核特性を測定する。制御棒効果及びその挿入による中性子束歪みの測定が一層重要になる。

#### 3. まとめ

FCA実験終了後、この炉物理実験計画はTCAを用いた第2期計画に引きつがれる予定である。FCAの実験はその特殊性から種々の測定上の困難に遭遇すると考えられるが、一方ではFCAの特徴を生かしたきめの細かい有用なデータを提供できるものと考える。この実験を有意義にするにはData & Methods開発関係者との緊密な連けいが必要であると思われる所以、よろしくお願ひしたい。

表1 FCA XIV炉心の主要実験項目

- (1) バックリング或いは  $K_{\infty}$  (反応率分布, 中性子バランス)
- (2) ポイド反応度効果 (減速材の密度変化)
- (3) スペクトルインデックス (箔, 核分裂計数管)
- (4) 転換比の指標 ( $^{11}C/^{14}F$ ,  $^{13}C/^{14}F$ )
- (5) 物質反応度価値
  - 吸收材 (B, C, HF 等)
  - 燃料 (Pu 同位元素効果)
  - 構造材 (SUS, Zr 等)

表2 PHASE-I 体系の格子特性

<u><math>K_{\infty}</math></u>						
EU06	EU05	EU08	PU08(92)	PU08(81)	PU08(75)	PROTEUS
1.1822	1.2170	1.2088	1.1850	1.1650	1.1500	1.0450

\* Plutonium isotopic composition

PU08(92) : Pu-239/Pu-240/Pu-241/Pu-242 = 91.17/8.00/0.76/0.07

PU08(81) : Pu-239/Pu-240/Pu-241/Pu-242 = 78.35/18.19/2.95/0.51

PU08(75) : Pu-239/Pu-240/Pu-241/Pu-242 = 68.26/21.69/7.46/2.59

Reaction rate ratio

		EU06	EU05	EU08	PROTEUS
Void 0%	F8/F5	0.00794	0.00511	0.01067	0.00999
	C8/F5	0.05205	0.03644	0.06682	0.06994
Void 46%	F8/F5	0.01031	0.00708	0.01372	0.01078*
	C8/F5	0.06816	0.05041	0.08324	0.08469*

\* Void 42.5%

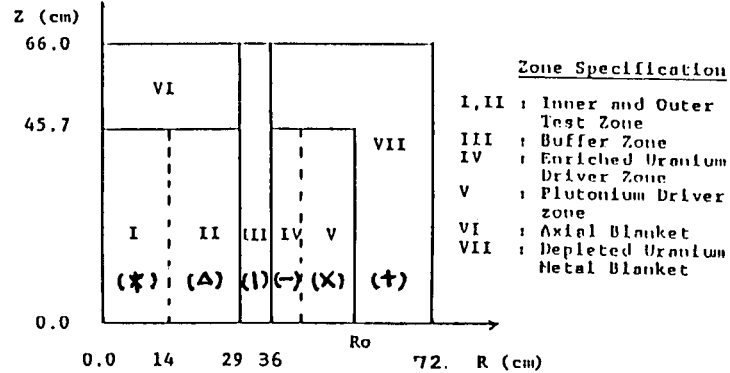
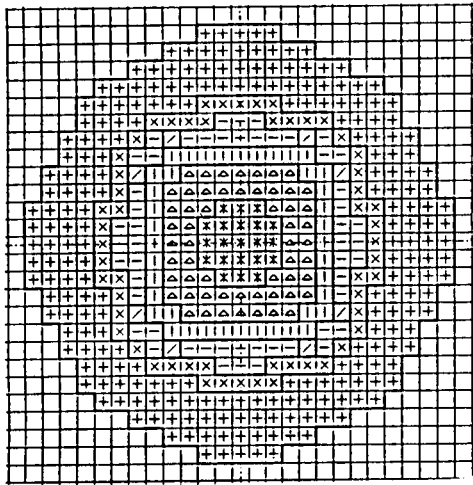


図 1 高転換軽水炉実験のための FCA 体系

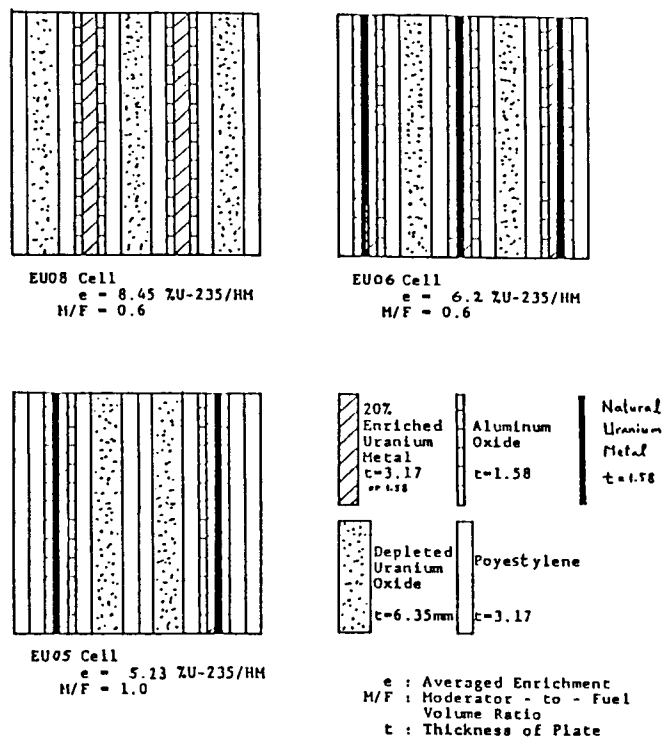


図 2 テスト領域の物質板配列

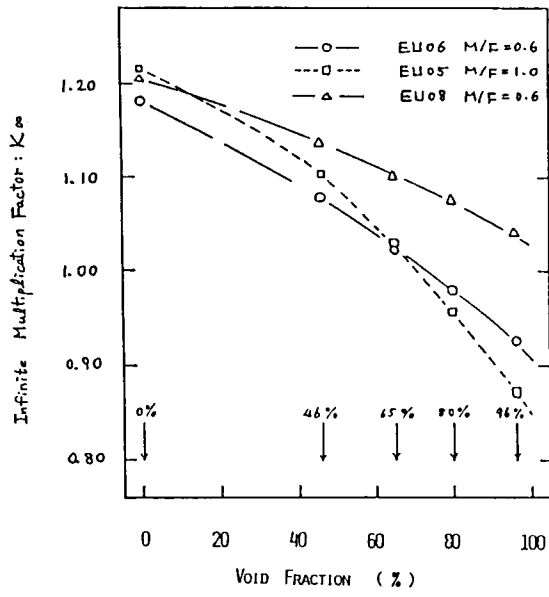


図 3 PHASE-I 体系の無限増倍率

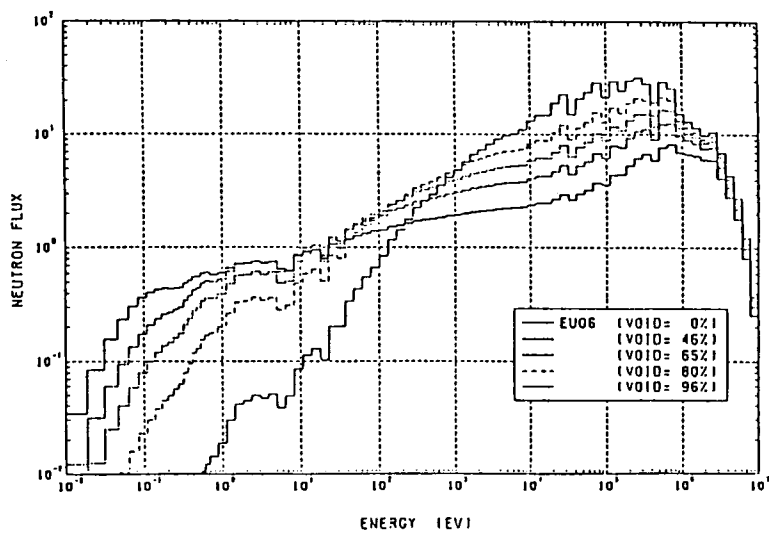


図4 EU06のボイド率と中性子スペクトル